



# Minnella Nera

Ansaldi G., Barbagallo M. G., Brancadoro L., De Lorenzis G., Di Lorenzo R., Falco V., Fici G., Gagliano F., Marino G., Monteleone G., Pisciotta A., Scienza A., 2015. Minnella Nera. in: Italian Vitis Datababase, www.vitisdb.it. ISSN 2282-006X

release 15/11/2018, ultimo aggiorn. 15/11/2018 url <http://vitisdb.it/accessions/show/16517>

## Informazioni gestite da

Regione Siciliana - Assessorato delle Risorse Agricole e Alimentari - Dip. Interventi Infrastrutturali per l'Agricoltura - Centro per l'Innovazione della Filiera Vitivinicola UOS Marsala  
Dipartimento di Scienze Agrarie ed Ambientali - Università degli Studi di Milano  
Dipartimento di Scienze Agrarie e Forestali - Università degli Studi di Palermo

## Ringraziamenti

Regione Sicilia, Ager Foundation

## Informazioni generali

**nome** Minnella Nera **codice** ITA430-7/3  
**nazione di selezione** Italia **regione di selezione** Sicilia  
**provincia di selezione** Catania **località di selezione** non disponibile  
**istituzione custode** Regione Siciliana - Assessorato delle Risorse Agricole e Alimentari - Dip. Interventi Infrastrutturali per l'Agricoltura - Centro per l'Innovazione della Filiera Vitivinicola UOS Marsala  
**collezione** Biesina - Marsala

## Varietà & clone

**tipo di origine** spontanea **genere** Vitis  
**specie** Vitis vinifera **sub specie** sativa  
**varietà** Minnella Nera **codice della varietà** IVD-var\_376  
**clone** non disponibile  
**trueness to type** no

## Trueness to type

### True-name

confermato **incerto**

### ►bibliografia correlata (1)

autori	anno	titolo	rivista	citazione
Ansaldi G., Cartabellotta D., Falco V., Gagliano F., Scienza A.	2014	Identità e ricchezza del Vigneto Sicilia		REGIONE SICILIANA Assessorato Regionale dell'Agricoltura, dello Sviluppo Rurale e della Pesca Mediterranea

### Trueness to type accertato con rilievi morfologici (ampelografici)

accertamento con rilievi morfologici (ampelografici) **non accertato**

### Trueness to type accertato con microsatelliti

accertamento con microsatelliti **"no"**

## Profilo microsatellite standardizzato

loci:	loci predefiniti ( 9 )																	
	VVS2		VVMD5		VVMD7		VVMD27		VrZAG62		VrZAG79		VVMD25		VVMD28		VVMD32	
locus SSR:	A1	A2	A1	A2	A1	A2	A1	A2	A1	A2	A1	A2	A1	A2	A1	A2	A1	A2
allele:	A1	A2	A1	A2	A1	A2	A1	A2	A1	A2	A1	A2	A1	A2	A1	A2	A1	A2
dimensione:	137	143	239	239	239	249	179	194	188	200	251	257	250	250	239	261	257	273

## Immagini



germoglio



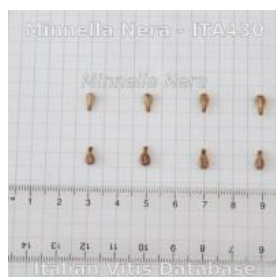
foglia



grappolo





acino



vinacciolo

## Ampelografia

OIV	descrizione	valore		immagini
001	Giovane germoglio: apertura dell'apice	5	completamente aperto	
003	Giovane germoglio: intensità della pigmentazione antocianica dei peli striscianti dell'apice	1	nulla o molto bassa	
004	Giovane germoglio: densità dei peli striscianti dell'apice	5	media	
006	Germoglio: portamento (prima della legatura)	1 / 3	eretto / semi-eretto	
007	Germoglio: colore del lato dorsale degli internodi	2	verde e rosso	
008	Germoglio: colore del lato ventrale degli internodi	1	verde	
016	Germoglio: numero di viticci consecutivi	1	2 o meno	
051	Foglia giovane: colore della pagina superiore del lembo (4 a foglia)	1 / 3	verde / bronzato	
053	Foglia giovane: densità peli striscianti tra le nervature principali della pagina inferiore (4a foglia)	7	elevata	
055	Foglia giovane: densità dei peli striscianti sulle nervature principali della pagina inferiore del lembo (4 a foglia)	7	elevata	
065	Foglia adulta: dimensione del lembo	5	medio	
067	Foglia adulta: forma del lembo	3	pentagonale	
068	Foglia adulta: numero dei lobi	3	cinque	
070	Foglia adulta: distribuzione pigmentazione antocianica nervature principali pagina superiore	1	assente	
072	Foglia adulta: depressioni del lembo	3	deboli	
074	Foglia adulta: profilo del lembo in sezione trasversale	2	a V	
075	Foglia adulta: bollosità della pagina superiore del lembo	1	nulla o molto bassa	
076	Foglia adulta: forma dei denti	2 / 3	entrambi i lati rettilinei / entrambi i lati convessi	
079	Foglia adulta: grado di apertura / sovrapposizione dei bordi del seno peziolare	5	chiuso	
080	Foglia adulta: forma della base del seno peziolare	3	a V	
081-1	Foglia adulta: denti del seno peziolare	1	assenti	
081-2	Foglia adulta: base del seno peziolare delimitata dalla nervatura	1	non delimitata	
083-1	Foglia adulta: forma della base dei seni laterali superiori	3	a V	
083-2	Foglia adulta: denti nei seni laterali superiori	1	assenti	
084	Foglia adulta: densità dei peli striscianti tra le nervature principali sulla pagina inferiore del lembo	5	media	
086	Foglia adulta: densità dei peli striscianti sulle nervature principali della pagina inferiore del lembo	5	media	

087	Foglia adulta: densità dei peli eretti sulle nervature principali della pagina inferiore del lembo	1	nulla o molto bassa	
093	Foglia adulta: lunghezza del picciolo in rapporto alla lunghezza della nervatura mediana	3	leggermente più corto	
094	Foglia adulta: profondità dei seni laterali superiori	5	medio	
151	Fiore: organi sessuali	3	stami completamente sviluppati e gineceo completamente sviluppato	
202	Grappolo: lunghezza (escluso il peduncolo)	5 / 7	medio / lungo	
204	Grappolo: compattezza	3	spargolo	
208	Grappolo: forma	2	conico	
209	Grappolo: numero di ali del grappolo principale	2	1 - 2 ali	
220	Acino: lunghezza	5	medio	
221	Acino: larghezza	3	stretto	
223	Acino: forma	4	ellissoidale stretto	
225	Acino: colore della buccia	5	rosso scuro violetto	
231	Acino: intensità della pigmentazione antocianica della polpa	1	nulla o molto debole	
236	Acino: particolarità dell'aroma	1	nessuna	
241	Acino: sviluppo dei vinaccioli	3	completo	

### Ampelometria

#### OIV

OIV	PDF	descrizione	valore	
601	PDF	Foglia adulta: lunghezza della nervatura N1	( Ø 111.83 )	
602	PDF	Foglia adulta: lunghezza della nervatura N2	( Ø 99.57 )	
603	PDF	Foglia adulta: lunghezza della nervatura N3	( Ø 76.83 )	
604	PDF	Foglia adulta: lunghezza della nervatura N4	( Ø 49.94 )	
605	PDF	Foglia adulta: distanza dal seno peziolare al seno laterale superiore	( Ø 56.87 )	
606	PDF	Foglia adulta: distanza dal seno peziolare al seno laterale inferiore	( Ø 56.41 )	
607	PDF	Foglia adulta: angolo tra N1 e N2 misurato alla prima biforcazione	( Ø 60.57 )	
608	PDF	Foglia adulta: angolo tra N2 e N3 misurato alla prima biforcazione	( Ø 54.80 )	
609	PDF	Foglia adulta: angolo tra N3 e N4 misurato alla prima biforcazione	( Ø 60.58 )	
611	PDF	Foglia adulta: lunghezza della nervatura N5	( Ø 25.11 )	
617	PDF	Foglia adulta: distanza tra l'estremità di N2 e l'estremità della prima nervatura secondaria di N2	( Ø 56.94 )	
618	PDF	Foglia adulta: apertura/sovrapposizione del seno peziolare	( Ø -7.41 )	

## Superampelo

distanze		
descrittore	valore	deviazione standard
Distanza dal seno peziolare al seno inferiore sinistro	55.900	7.320
Distanza dal seno peziolare al seno inferiore destro	56.930	8.450
Distanza dal seno peziolare al seno superiore sinistro	55.890	8.400
Distanza dal seno peziolare al seno superiore destro	57.850	11.280
Nervatura N3', lunghezza dal seno peziolare alla nervatura N4'	10.660	1.980
Nervatura N3, lunghezza dal seno peziolare alla nervatura N4	10.110	2.130
Lunghezza della nervatura N5'	24.640	2.930
Lunghezza della nervatura N5	25.590	3.800
Lunghezza della nervatura N4'	49.430	6.210
Lunghezza della nervatura N4	50.460	4.430
Distanza tra punto peziolare ed estremità della nervatura N4'	57.900	6.330
Distanza tra punto peziolare ed estremità della nervatura N4	58.190	3.690
Lunghezza della foglia	167.250	11.460
Larghezza della foglia	155.930	13.790
Lunghezza della foglia compreso il picciolo	201.000	15.770
Lunghezza del picciolo	89.190	9.760
Lunghezza della nervatura N1	111.830	7.270
Distanza tra gli estremi delle nervature N2 e N2'	150.440	17.280
Distanza tra gli estremi delle nervature N3 e N3'	150.080	9.680
Distanza tra gli estremi delle nervature N4 e N4'	58.710	8.250
Larghezza del seno peziolare / Distanza tra i punti SP e SP'	-7.410	4.210
Lunghezza della nervatura N2	100.110	9.460
Lunghezza della nervatura N2'	99.030	8.280
Lunghezza della nervatura N3	76.340	5.220
Lunghezza della nervatura N3'	77.330	7.910
Distanza tra estremità di N2 e estremità della prima ramificazione laterale di N2	57.950	10.910
Distanza tra estremità di N2' e estremità della prima ramificazione laterale di N2'	55.930	9.670

angoli		
descrittore	valore	deviazione standard
Angolo tra N1 e N2 misurato alla prima biforcazione	60.840	5.160
Angolo tra N1 e N2' misurato alla prima biforcazione	60.300	4.960
Angolo tra N2 e N3 misurato alla prima biforcazione	55.260	8.450
Angolo tra N2' e N3' misurato alla prima biforcazione	54.340	5.660
Angolo tra N3 e N4 alla prima biforcazione di N3	60.090	5.470
Angolo tra N3' e N4'	61.080	5.930
Angolo tra N1 e N2 misurato agli estremi delle nervature	48.980	4.940
Angolo tra N1 e N2' misurato agli estremi delle nervature	48.930	5.200
Angolo tra N2 e N3 misurato agli estremi delle nervature	51.260	8.900
Angolo tra N2' e N3' misurato agli estremi delle nervature	53.290	4.230
Angolo tra N3 e N4 misurato agli estremi delle nervature	50.160	6.180
Angolo tra N3' e N4' misurato agli estremi delle nervature	46.200	3.670
Angolo di apertura del seno peziolare misurato a SP e SP'	19.390	12.170
Angolo tra D e D' con centro in N1	103.650	6.650
Angolo tra S e S' con centro in N1	51.950	10.440
Angolo tra I e I' con centro in N1	52.480	6.340
Angolo tra N3 e la tangente tra il punto peziolare e l'estremità N5	75.100	7.860
Angolo tra N3' e la tangente tra il punto peziolare e l'estremità N5'	71.880	6.080

rapporti		
descrittore	valore	deviazione standard
Rapporto tra la lunghezza della nervatura N3' e la lunghezza della nervatura N1	0.690	0.060
Rapporto tra la lunghezza della nervatura N3 e la lunghezza della nervatura N1	0.680	0.030
Rapporto tra la lunghezza della nervatura N2' e la lunghezza della nervatura N1	0.890	0.040
Rapporto tra la lunghezza della nervatura N2 e la lunghezza della nervatura N1	0.890	0.050
Rapporto tra la distanza dal seno peziolare al seno inferiore sinistro OI' e la lunghezza della nervatura N3'	0.720	0.070
Rapporto tra la distanza dal seno peziolare al seno inferiore destro OI e la lunghezza della nervatura N3	0.750	0.100
Rapporto tra Lunghezza e larghezza della foglia	1.070	0.040
Rapporto tra la lunghezza del picciolo OP e la lunghezza della nervatura N1	0.800	0.060
Rapporto tra la distanza dal seno la lunghezza della nervatura N2	0.580	0.080
Rapporto tra la distanza dal seno peziolare la lunghezza della nervatura N2'	0.560	0.050
Rapporto tra l'altezza e la base del dente all'estremità della nervatura N4'	0.710	0.090
Rapporto tra l'altezza e la base del dente all'estremità della nervatura N4	0.760	0.080
Rapporto tra l'altezza e la base del dente all'estremità della nervatura N2'	0.850	0.180
Rapporto tra l'altezza e la base del dente all'estremità della nervatura N2	0.860	0.190
Rapporto tra la somma degli angoli a' + b' e la somma della distanza tra il seno peziolare e il seno superiore sinistro OS' e il seno peziolare e il seno inferiore sinistro OI'	0.020	0.000
Rapporto tra la somma degli angoli a + b e la somma della distanza tra il seno peziolare e il seno superiore destro OS e il seno peziolare e il seno inferiore destro OI	0.020	0.000
Rapporto tra la lunghezza della nervatura N5' e la lunghezza della nervatura N1	0.220	0.030
Rapporto tra la lunghezza della nervatura N5 e la lunghezza della nervatura N1	0.230	0.020
Rapporto tra la lunghezza della nervatura N4' e la lunghezza della nervatura N1	0.440	0.050
Rapporto tra la lunghezza della nervatura N4 e la lunghezza della nervatura N1	0.450	0.030

### Fenologia & produzione

OIV	descrizione	valore	
301	Epoca di germogliamento	5	media
303	Epoca d'inizio dell'invaiaura	5	medio
351	Vigoria del germoglio	5	media (70-80 g)
502	Grappolo: peso di un grappolo	1 / 3	molto basso (<150 g) / basso (250-350 g)
503	Acino: peso di un acino	1 / 3	molto basso (<1,5 g) / basso (2,5-3,5 g)
505	Tenore in zucchero del mosto	5	medio (17,2-18,8)
506	Acidità totale del mosto	5	media (8,2-9,8)
508	pH del mosto	5	medio (3,2-3,3)

### Vegeto-produttivo

sesto di impianto e forma di allevamento	valore	deviazione standard	numero di anni
Forma di allevamento	contropalliera		
Sistema di potatura			
Distanza tra le file (m)	2.400		
Distanza sulla fila (m)	0.900		

vigore	valore	deviazione standard	numero di anni
Peso medio tralcio (g)	64.920	1.520	2
Peso legno di potatura per pianta (kg)	0.670	0.010	2
Peso legno di potatura per metro di filare (kg)	0.750	0.010	2
Numero germogli/tralci per pianta (numero/pianta)	11.090	1.370	4
Numero germogli/tralci per metro di filare (numero/m)	12.320	1.520	4

fertilità	valore	deviazione standard	numero di anni
Numero infiorescenze per germoglio alla fioritura (numero/germoglio)	1.440	0.210	4
Fertilità basale (grappoli/gemma)	1.390	0.450	4

quantità produzione	valore	deviazione standard	numero di anni
Numero grappoli per pianta (numero/pianta)	16.300	0.900	4
Numero grappoli per metro lineare (numero/m)	18.110	1.000	4
Produzione per metro di filare (kg/m)	3.460	0.300	4
Produzione per pianta (kg/ceppo)	3.110	0.270	4
Produzione per ettaro (t/ha)	14.413	1.251	4
Diametro acino (media di 25 acini) - larghezza (mm)	12.960	0.600	2
Diametro acino (media di 25 acini) - lunghezza (mm)	17.530	0.650	2
Peso medio grappolo (g)	192.000	17.770	4
Peso di 100 acini (g)	189.000	20.000	4

qualità produzione	valore	deviazione standard	numero di anni
Tenore in zucchero del mosto (°Brix)	18.310	1.410	3
Acidità titolabile del mosto (g/l)	5.500	0.350	3
pH (pH)	3.340	0.110	3
Antociani totali bucce (g/kg)	0.370	0.040	2

### Polifenoli uve

antociani monoglucosidi	buccia (mg/kg) (dev.st)	vinacciolo (mg/kg) (dev.st)	polpa (mg/kg) (dev.st)
cianidina-3-monoglucoside	92.93		
delfinidina-3-monoglucoside	89.84		
malvidina-3-monoglucoside	52.15		
peonidina-3-monoglucoside	20.57		
petunidina-3-monoglucoside	54.37		

flavonoli	buccia (mg/kg) (dev.st)	vinacciolo (mg/kg) (dev.st)	polpa (mg/kg) (dev.st)
campferolo monoglucoside	3.79		
quercetina monoglucoside	20.48		
quercetina glucuronide	14.05		
miricetina monoglucoside	6.62		

acidi idrossicinnamiltartarici	buccia (mg/kg) (dev.st)	vinacciolo (mg/kg) (dev.st)	polpa (mg/kg) (dev.st)
ac. trans caffeil tartarico	90.85		
ac. cis p-cumariol tartarico	14.40		
ac. trans p-cumariol tartarico	48.80		
ac. trans feruril tartarico	2.07		

### Note profilo polifenolico

acetati totali 17.96 mg/kg di uva p-cumarati 35.38 mg/kg di uva

### Aromi uve

norisoprenoidi	liberi (mg/kg) (dev.st)	idrolisi enzimatica (mg/kg) (dev.st)	idrolisi acida (mg/kg) (dev.st)
vomifoliolo		177.8400	
3-oxo-a-ionolo		82.7900	
3-idrossi-b-damascone		4.8800	

derivati benzene	liberi (mg/kg) (dev.st)	idrolisi enzimatica (mg/kg) (dev.st)	idrolisi acida (mg/kg) (dev.st)
benzaldeide		2.6700	
metilsalicilato		3.7200	
metilbenzoato		42.5900	
alcool benzilico		76.9900	

monoterpeni	liberi (mg/kg) (dev.st)	idrolisi enzimatica (mg/kg) (dev.st)	idrolisi acida (mg/kg) (dev.st)
cis-8-idrossi-linalolo		20.1300	
idrossi-geraniolo		6.3300	
nerolo		2.4100	
cis-furanlinalolossido (ossido B)		1.9900	
trans-piranlinalolossido (ossido C)		0.4100	
geraniolo		24.1300	
trans-furanlinalolossido (ossido A)		1.0000	
a-terpineolo		15.9900	
2,6-dimetil-3,7-octadien-2,6-diolo (diolo 1)		16.5700	
acido geranico		7.9300	
linalolo		0.7900	
cis-piranlinalolossido (ossido D)		0.5100	

### Note aromi

<!-- /\* Font Definitions \*/ @font-face {font-family:"Cambria Math"; panose-1:2 4 5 3 5 4 6 3 2 4; mso-font-charset:0; mso-generic-font-family:auto; mso-font-pitch:variable; mso-font-signature:-536870145 1107305727 0 0 415 0;} /\* Style Definitions \*/ p.MsoNormal, li.MsoNormal, div.MsoNormal {mso-style-unhide:no; mso-style-qformat:yes; mso-style-parent:""; margin:0cm; margin-bottom:.0001pt; mso-pagination:widow-orphan; font-size:12.0pt; font-family:"Times New Roman"; mso-fareast-font-family:"Times New Roman"; mso-ansi-language:IT;} .MsoChpDefault {mso-style-type:export-only; mso-default-props:yes; font-size:10.0pt; mso-ansi-font-size:10.0pt; mso-bidi-font-size:10.0pt;} @page WordSection1 {size:612.0pt 792.0pt; margin:70.85pt 2.0cm 2.0cm 2.0cm; mso-header-margin:36.0pt; mso-footer-margin:36.0pt; mso-paper-source:0;} div.WordSection1 {page:WordSection1;} -->

Le uve di questa cultivar hanno una scarsa dotazione in composti terpenici ma considerevoli composti della serie benzenoidi e soprattutto di norisoprenoidi. Fra i primi prevalgono il geraniolo e l'a-terpineolo. Il rapporto fra gli isomeri trans e cis degli ossidi furanici del linalolo è minore di 1, fra linalolo e geraniolo minore di 1. Quest'uva è ben dotata di norisoprenoidi in particolare di vomiofoliole e 3-oxo-a-ionolo di e di due benzenoidi normalmente prevalenti in tutte le uve non aromatiche (alcol benzilico e 2-feniletanolo).

### Altri descr.

nessun "altro" descrittore disponibile per Minnella Nera

### Accessioni della medesima varietà (1)

- Minnella Nera - Regione Siciliana - Assessorato delle Risorse Agricole e Alimentari - Dip. Interventi Infrastrutturali per l'Agricoltura - Centro per l'Innovazione della Filiera Vitivinicola UOS Marsala